

### III-100 $\phi_u=0$ 法の適用性について

神戸大学大学院(学) ○ 温谷 啓  
同 小寺 康裕  
神戸大学工学部(正) 軽部 大藏

**1. 概要** 饱和粘性土地盤のせん断破壊に対する短期安定問題には  $\phi_u=0$  法が広く用いられている。飽和粘土を非排水状態でせん断した場合に土壤内に発生する間げき水圧  $Au$  は、 $Au = A\phi_0 + Af (10_f - 10_s)$  ( $A\phi_0$ : 破壊時の間げき圧係数) で表わされる。 $Af$  の値は、(i) セン断方向(異方性), (ii) セン断速度, (iii) 变形の幾何学的条件(軸対称, 平面ひずみなど)などの要因により大きく変化することが知られていく。したがって、設計定数としての非排水せん断強度  $Cu$  値は、これらの影響を考慮し、現場での施工条件・変形条件に応じた値を用ひるべきである。本研究は、一次元圧密粘土の強度異方性(i)を一面せん断試験により調べると共に、新しく開発した「円筒回転せん断試験機」を用いて、バーン側面でモービルライズされるせん断強度のせん断速度依存性(ii)を検討し、「 $\phi_u=0$  法の限界」を明らかにしようとするものである。

#### 2. 試料

大阪沖縄粘土に蒸留水を加えながらスラリー状に練り返し、 $74\text{mL}/\text{フル}\text{l}$  通過分を段階載荷により最終圧密応力  $\sigma_{vo} = 73.5 \text{ kN/m}^2$  まで圧密した練り返し再圧密粘土である。試料の物理的諸性質を表-1に示す。

#### 3. 非排水せん断強度の異方性

図-1は、定圧一面せん断試験より得られた供試体切り出し角  $\theta_c$  (キースケル) とせん断強度  $\tau_f$  との関係を示したものである。供試体は、直徑 6 cm、高さ 1.5 cm また、せん断時の垂直応力  $\sigma_h$  と圧密応力  $\sigma_{vo}$  の比は、 $\sigma_h/\sigma_{vo} = 0.47$ 、せん断速度は 1 mm/min. である。主動せん断(Active shear)、受動せん断(Passive shear)の定義は高田ら(第3回国土年譲)に従う。 $\theta_c = 90^\circ$  供試体については、便宜的に、鉛直方向、水平方向にせん断したものとそれそれ主動せん断、受動せん断と正別れた。図中の実線は、太田ら(第15回国土研究発表会)により提案された平面ひずみ状態における成り立つ、 $Cu(\phi')$  と最大主応力方向の回転角  $\theta$  との関係式

$$\frac{Cu}{\sigma_{vo}} = \frac{M \exp(-\alpha)}{\sqrt{3} (\cosh \beta - \sinh \beta \cos 2\theta)} \quad (1)$$

を用いて計算した値である。 $\theta$  は、破壊時に、最大主応力方向がせん断面と、 $\frac{\pi}{4} + \frac{\phi'}{2}$  の角度をなすと仮定して求め、 $\phi'$  は、等体積一面せん断試験(CVDST)により求めた値。 $K_0$  値は、柴田(第11回国土工学シンポジウム)が提案した  $I_p \sim K_0$  関係より求めた値を用いた。

また図-2は、非排水せん断強度の異方性と最大主応力方向の回転角  $\theta$  との関係でとらえたものである。図中の数字は、それぞれ供試体の切り出し角  $\theta_c$  を表している。この図より、一次元圧密粘土の強度異方性は主として、最大主応力方向の回転に伴う、粘土のダイレイタシ-特性に起因する事が推定される。定圧一面せん断試験では、 $(\sigma_h/\sigma_{vo})$  の値に

表-1

Gs	w <sub>L</sub> (%)	I <sub>p</sub> (%)	粘土分 (%)	C <sub>c</sub>
2.67	91.2	56.6	48.0	1.23

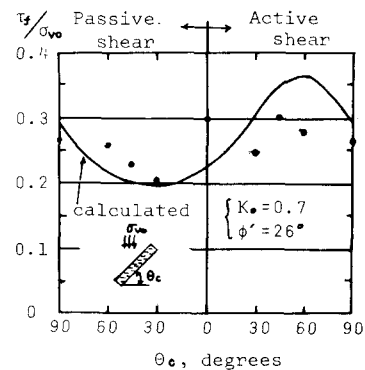


図-1 (↑)

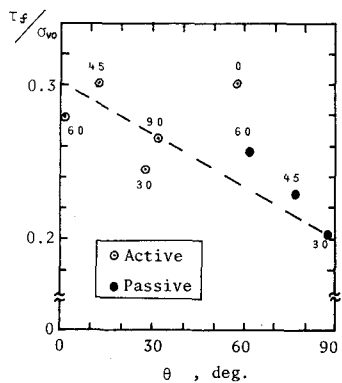


図-2 (↑)

より測定されるせん断強度  $T_v$  の値がかなり影響されるため今圓のように様々な角度に切り出した供試体オベートに一様な垂直応力を作用させることには問題があり。 $\theta_0 = 0^\circ$  供試体のせん断強度が相対的に大きな値を示したのは、上述の影響によるものと想われる。

#### 4. 円筒回転せん断試験機 (略称 CRST)

円筒回転せん断試験機 (図-3, 図-4) は、ベーン側面でモービライズされるせん断強度  $T_v$  のせん断速度 (=回転角速度) による影響を直接測定する目的で開発したものである。供試体は、正規圧密状態 ( $\sigma_{v0} = 73.5 \text{ kN/m}^2$ ) でせん断され、また供試体上下に置かれたペアリング (図-4) により、せん断に伴う供試体の変形は拘束されない。回転角速度はギヤボックスの組合せにより、 $\dot{\omega} = 1, 0.1$  (標準), 0.01, 0.001 deg/s の4種類に変化し得る。

図-5に  $T_v \sim \omega$  (回転角) 関係を示す。 $T_v \sim \omega$  関係と回転角速度  $\dot{\omega}$  に注目すれば、 $\dot{\omega}$  が大きい程ピークが明確であり、 $T_v$  (ピーク強度) の値も大きい。また  $\dot{\omega} = 0.001 \text{ deg/s}$  の実験ではせん断強度がピークに達するまでに約3時間も要したため、試験機の性格上、非排水状態が保てず排水強度を測定したものと考えられる。

また図-6は、破壊までの時間  $t_f$  (せん断開始からピーク強度を示すまでに要した時間) と  $T_{vf}$  との関係を示したものである。

図中の破線を式示すると(2)式となり

$$\left(\frac{T_{vf}}{T_{v0}}\right) = 0.95 \cdot t_f^{-0.14} \quad (2)$$

$T_{vf}$ : 任意の  $t_f$  におけるせん断強度

$T_{v0}$ : 標準試験 ( $\dot{\omega} = 0.1 \text{ deg/s}$ ) より得られたせん断強度  
 $T_{vf}$  は  $t_f$  に対して指指数的に減少することがわかる。

Torstensson (Int. Symp. on Soft clay, Bangkok, 1977) は、回転角速度を様々に変化させた一連のベーン試験結果より、標準ベーン試験 ( $\dot{\omega} = 0.1 \text{ deg/s}$ ) より得られた残留強度を設計定数として用いることを提案しているが、本実験においてもこの「残留強度設計法」の妥当性が確かめられた。

#### 5. 今後の発展

円筒回転せん断試験により測定されるせん断強度  $T_{vf}$  を有効応力の立場からみると(3)式で表わされる。

$$T_{vf} = C' + (k_0 \sigma_0 + \Delta \sigma'_r) \tan \phi' \quad (3)$$

$\Delta \sigma'_r$ : 回転による有効直応力の変化

したがって土のせん断強度  $T_v$  Hovnoller の規準に従うとすれば、(急速せん断の残留状態における  $\Delta \sigma'_r$ ) = (緩速せん断のピーク時ににおける  $\Delta \sigma'_r$ ) となる筈である。今後は、せん断面上の向げき水压を測定することにより、有効応力の立場からベーン破壊機構をとらえ、残留強度の物理的な意味を明らかにしていく。

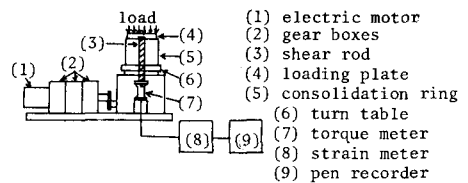


図-3

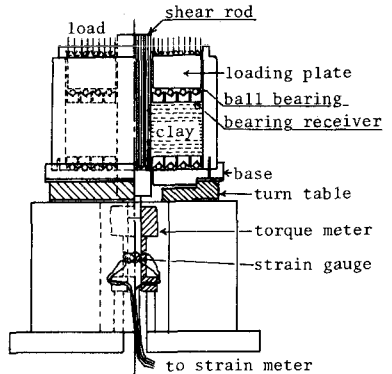


図-4

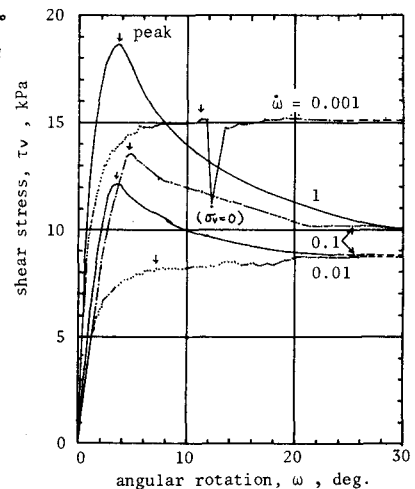


図-5

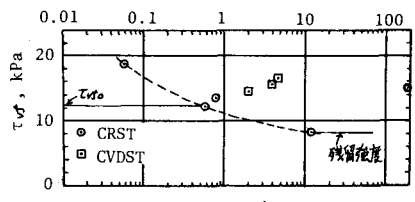


図-6